

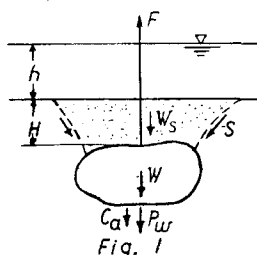
1. まえがき

海洋構造物は、接地式と浮遊式の2形式に大別することができる。海洋土木の場が、現在よりもより大水深域に進展するにつれて、浮遊式海洋構造物の果す役割は、接地式のものに較べてより大きくなる。この浮遊式海洋構造物は、自力または曳航によって移動し、海上・海中に固定されて、作業台・基地などとして使用される。したがって、固定時でも船舶としての機能と同時に、土木構造物としての機能をも持つといふ。浮遊式海洋構造物の構造設計に関しては、相当程度までの研究がなされているが、構造物の安全性と確保する上でも最も重要である、係留システムに関しては、ほとんど研究がなされていない。

本研究は、浮遊式海洋構造物の係留システムの中で、投設アンカーの把駐力、すなわち引抜き抵抗力を測定して、模型実験によって基礎的な検討を行ったものである。アンカーの引抜き抵抗力の研究としては、沈没船などの引上げ力に関するものと含めて、若干の研究成果が発表されている。¹⁾また、アースアンカーなどの陸上構造物の引抜き力に関しては、Balla²⁾、Bakers³⁾、松尾⁴⁾などの研究がある。ところが、本研究では、これらの研究を参考にして、投設アンカー引抜き抵抗力、特に、引抜き時に発生するすべり面とそこに働く剪断力をどうやって検討した。

2. 予備的考察

投設アンカーを鉛直に引上げる場合、引抜き力 F に抵抗する力として、(1) アンカー水中重量 W 、(2) アンカー上の底質重量 W_s 、(3) アンカー下面に働く吸着力 P_w 、(4) スベリ面上に働く剪断力の鉛直成分 S_v 、(5) アンカー表面上に働く、付着力・摩擦力 C_a が考えられる。(図-1) そして、これらは、それが次のようにならざるを得ない。



$$W_s = W_s(A, H, \gamma_s, \gamma_w, shape)$$

$$P_w = P_w(A, H, h, dF/dt, d_0, k, shape) \quad (1)$$

$$S_v = S_v(A, H, c, \sigma_f, shape)$$

$$C_a = C_a(A, H, \gamma_s, \mu_s, c, \varepsilon, shape)$$

ここで、 A ：アンカーの最大水平投影面積、 H ：埋め込み深さ、 h ：水深、 γ_s と γ_w ：底質と水の単位重量、 c と σ_f ：底質の粘着力と引張り強度、 ε ：アンカー表面粗度、 d_0 ：底質の平均粒径、 t ：時間。

アンカーの引抜き力は、アンカーの水中重量と引抜き抵抗力 R の和であるから、 R は次式で表わされる。

$$R = R(W_s, P_w, S_v, C_a) \quad (2)$$

R は、式(1)と(2)に見らるる如きに、数多くのパラメータに依存するので、本研究では以下に記す実験条件を設定して、現象の単純化を行った。すなわち、(1)ほど同一条件の下に引抜き試験を行うため、底質の堆積状態の均一性と再現性、(2)底質の粘着力効果の除去、(3)アンカーの水平面積を同一にする、(4)引抜き荷重速度の効果を一定に保つ、など実験を行ふに当つて留意した。以上の事柄より、本研究でのアンカー引抜き最大抵抗力 R_{max} は、式(1)と(2)により、次のように表わされる。

$$R_{max} = R(H, shape,)$$

3. 実験装置と実験方法

実験は、図-2に示すような、高さ2m、幅1m、長さ1mの実験水槽を行つた。上記の理由より、模型底質は豊浦標準砂で、実験時の摩擦係数は39.2%，内部摩擦角 ϕ は33°42'、空氣比重

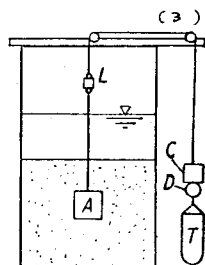


Fig. 2

は2.6である。模型アンカーは直立体と球体の2種類で、との水半面積は等しい。(表-1) 模型

| アンカー形 | 水中重量 | 寸法 |
|-------|---------|-----------|
| 直方体 | 2.48 kg | 边長 70 cm |
| 球体 | 1.72 kg | 直径 8.0 cm |

用水槽(T)に連結し、その底に力計(L)、バラニス用錐(C)ダイヤルゲージ(D)が挿入されている。引抜き荷重は、定水頭式水槽より水槽(T)に差し込む水によって、アニカーレ載荷し、力計(L)で検出する。また、アニカーレ変位は、ダイヤルゲージ(D)で読み取る。図-3は、 $\lambda = t/\text{sec}$

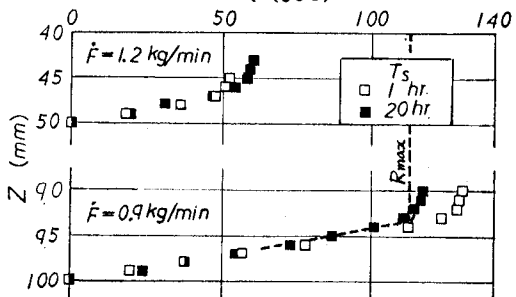


Fig. 3

ニカーレ引抜き試験結果の一例で、アニカーレ埋設時の底面の乱れの影響を検討したものである。アニカーレ埋設後の放置時間 T_s は、図-3より1時間程度で十分であると認められる。また、図-4は、引抜き荷重速度と最大抵抗力との関係を示す実験結果で、荷重速度が $400 \sim 600 \text{ gr/min}$ の範囲内では、アニカーレ引抜き最大抵抗力は、ほぼ一定とみなされる。以降の予備実験結果より、 $T_s = 1 \text{ hr}$ 、 $F = 600 \text{ gr/min}$ で以後の実験を行った。

4. 実験結果

(1) 連続載荷による引抜き 引抜き力を連続的に増加して、引抜き試験を行った場合の実験結果は、図-5に示される。図-5は、アニカーレ埋設深さと最大引抜き抵抗力との関係を示したものである。最大引抜き抵抗力は、図-3に示すような方法で求めた。

松尾は、円形床板基礎の引揚げ抵抗力を、基礎引揚げ

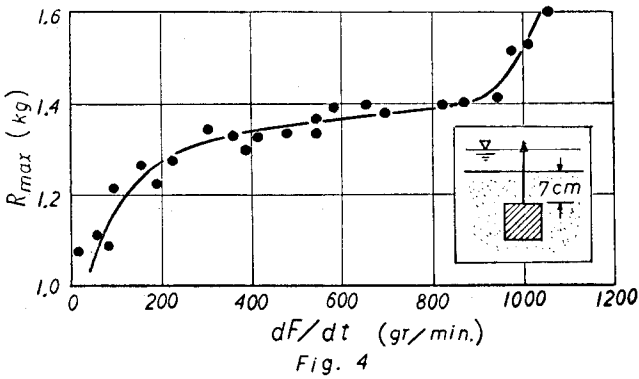


Fig. 4

時に生ずるすべり面形状を、対数らせんと直線より成るものとして、理論式を求めた。⁴⁾そして、理論式を簡略化した近似式を提案している。⁵⁾本研究での条件に合わせて、松尾の近似式を書き直すと、アニカーレ引抜き最大抵抗力 R_{\max} は、式(4)となる。

$$R_{\max} = \pi B_1^3 [\alpha_4 \lambda^3 + \alpha_5 \lambda^2 + \alpha_6 \lambda] \gamma_s \quad (4)$$

ここで、 B_1 ：円形床板の半径、 $\gamma_s = \gamma_s - \gamma_w$ ：底面の水中との単位重量、 $\lambda = H/B_1$ ：埋設深さヒアニカーレ半径との比である。本研究で使用した模型アニカーレは、直方体と球体であり、このため、アニカーレ埋設深さが $H = 0$ の場合でも、アニカーレ面上に作用する土圧による摩擦力とアニカーレ引抜き時に生ずる吸着力とにによる抵抗力が存在する。この抵抗力の効果を除くため、図-5の実験結果よりも上山正、 $H = 0$ の場合の R_{\max} を他の埋設深さの場合も、比例と仮定して考慮して、式(4)を次式のように書き直す。

$$\frac{R_{\max} - R_0}{\gamma_s' \pi B_1^2 H} = \alpha_4 \lambda^2 + \alpha_5 \lambda + \alpha_6 \quad (5)$$

ここで、 $R_0 = (R_{\max})_{H=0}$ である。図-6は、実験

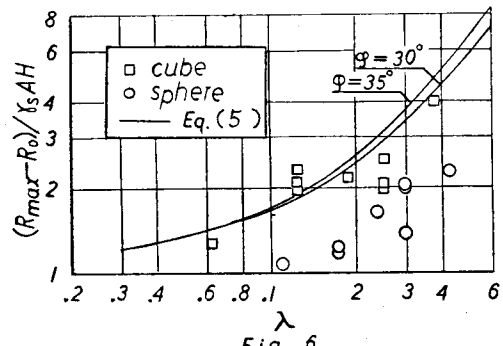


Fig. 6

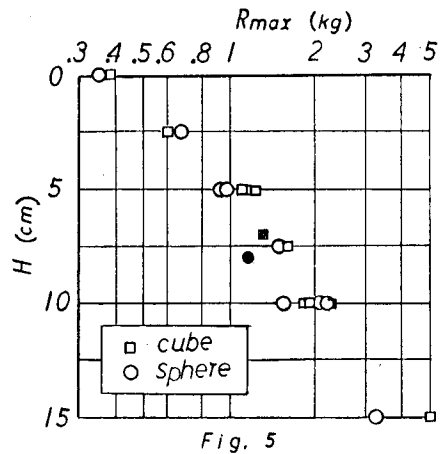


Fig. 5

結果と式(5)との比較を行ったものである。直方体アニカーハ、基面積の円筒体に置き代え、また球体アニカーハの場合には、アニカーハ埋設深度をアニカーハ最上端部までの深さとしていることから、アニカーハ上の底面の重量補正を行って、入を算定した。図-6に見られるように、実験結果は式(5)の傾向と、ほゞ同様の傾向を示すが、理論値より若干小さい R_{max} の値となつてゐる。また、直方体アニカーハは、球体アニカーハより大きい最大抵抗力を示してあり、これは松尾らの実験結果に見られる、正方形床板と円形床板との比較したものと、同様の結果を与えてゐる。松尾らの場合には、正方形床板とこれに等面積の円形床板との床板周辺長の差が、抵抗力の差を生ずる1つの要因と考えられてゐる。⁶⁾しかし、本研究では、直方体アニカーハの場合には、すべり面はその上面の周辺により発生するのに対して、球体アニカーハの場合には、その最大水平周辺内部より発生することに原因があるものと考えられる。

(2) 繰り返し載荷による引抜き 海洋構造物の構設アニカーハであることを考え、繰り返し引抜き荷重を加えた場合の実験を行った。繰り返し荷重の載荷方式は、

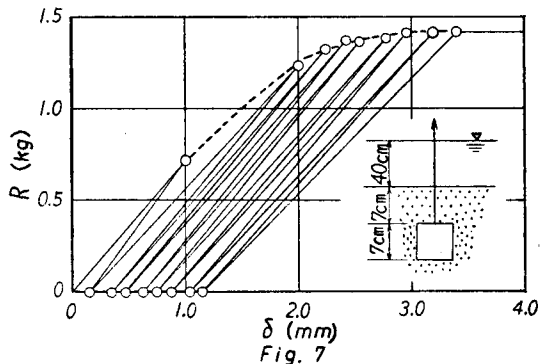


Fig. 7

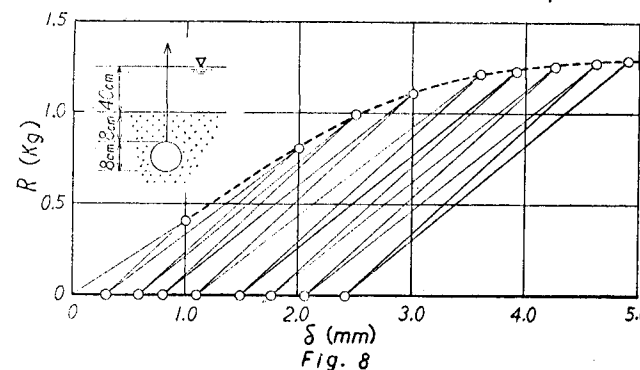


Fig. 8

アニカーハの変位量 δ で引抜き力を逐次的に増加させ、定変位に到達後、全載荷荷重を除去する方式を採用した。このような繰り返し引抜き力作用時の実験結果例が、図-7と8である。これらの実験結果に見られるように、引抜き力除去後のアニカーハ変位量は、直方体アニカーハ駆いて、球体アニカーハの場合の方が非常に大きい。このことは、アニカーハ変位時に生ずる吸着力解消のため、アニカーハ下面に流動する底面量が、球体アニカーハの方が多いことを示すものであると思われる。図-9と10は、繰り返し載荷試験より求めた引抜き最大抵抗力を、これらの値は図-5中に、黒印で

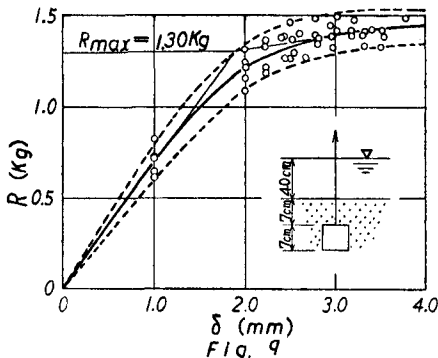


Fig. 9

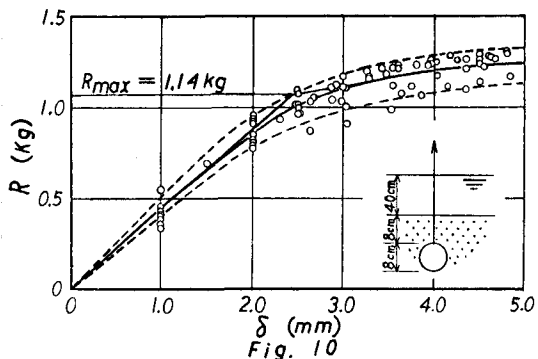


Fig. 10

示されてゐる。経りて、本研究の一部は、昭和41年度文部省試験研究費（代表者本間仁教授）によって行つたことを付記す。

引用文献 1) Proc. of Conf. on Civil Eng. in the Oceans, ASCE, 1967. 2) Balla : Proc. 5th Conf. on Soil Mech. & Foud. Eng., 1961. 3) Baker et al. : Highway Res. Record, 1966. 4) 松尾：土木学会論文集，昭和39年。5) 松尾ら：土木学会論文集，昭和43年。6) 松尾ら：土木学会論文集，昭和42年。